

جایگاه متفاوت ژئودینامیکی واحدهای افیولیتی زمین درز سیستان: بررسی روابط بافتی و شیمی کانی‌های توالی اولترامافیک-مافیک پوسته‌ای

مرتضی دلاوری *

گروه ژئوشیمی، دانشکده علوم زمین، دانشگاه خوارزمی، تهران، ایران

چکیده

مجموعه سنگ‌های افیولیتی زمین درز سیستان بخشی از بر جای مانده‌های لیتوسفر اقیانوسی تیس در حد فاصل بلوک‌های قاره‌ای لوت و افغان است. این حوضه اقیانوسی حداقل در زمان کرتاسه حیات داشته است. شواهد ژئوشیمیایی کانی‌های مجموعه سنگ‌های اولترامافیک-مافیک توالی پوسته‌ای و روابط میکروسکوپی کانی‌ها در بخشی از این مجموعه‌های افیولیتی (در حد فاصل افیولیت‌های جنوب بیرجند تا چهل کوره) بیانگر جایگاه‌های متفاوت ژئودینامیک برای شکل‌گیری لیتوسفر اقیانوسی است. سنگ‌های پلوتونیک توالی پوسته‌ای اساساً شامل: سنگ‌های اولترامافیک انباشتی (دونیت و پیروکسنیت)، گابروی انباشتی، گابرونوریت و گابروی ایزوتربوپ است. روند تبلور کانی‌ها در این سنگ‌ها در دو گروه متمایز از هم قرار می‌گیرد. در یک گروه تقدم تبلور پیروکسن نسبت به پلاژیوکلاز و در گروه دیگر بر عکس آن است که به ترتیب نشانگر روند نوع SSZ (بالای پهنه فرورانش) و MORB (باالت پشته میان اقیانوس) است. ترکیب پلاژیوکلاز در گابرو در محدوده بیتونيت و در گابرونوریت در محدوده آنورتیت قرار دارد. همچنین، میزان عناصر سازگار و ناسازگار در کلیپوپیروکسن و ارتوپیروکسن در اولترامافیک‌های انباشتی، گابرو و گابرونوریت تفاوت معنی داری نشان می‌دهد. ترکیب شیمیایی این کانی‌ها و روند تبلور بیانگر آن است که اولترامافیک‌های پیروکسنیتی و گابرونوریت نسبت به تروکتولیت، گابروی انباشتی و گابروی ایزوتربوپ از دو سری مذاب مجزا به ترتیب با دو تمايل مذاب‌های SSZ و MORB حاصل شده‌اند. در منطقه زمین درز سیستان به نظر می‌رسد ماقمایسم نوع MORB حاصل فرآیند ذوب بخشی در زیر پشته میان اقیانوس است که یک گوشته تهی شده را نتیجه داده است و در اثر فرورانش درون اقیانوسی گوشته یادشده متأثر از سیالات آزاد شده از لیتوسفر فرورانده مجددأ تحت تأثیر ذوب بخشی درجه بالاتری قرار می‌گیرد و حاصل آن ماقمایسم نوع SSZ است.

واژه‌های کلیدی: سنگ‌های اولترامافیک-مافیک، جایگاه ژئودینامیک، افیولیت، زمین درز سیستان، شرق ایران

مقدمه

جمله این موارد می‌توان به افیولیت‌های نوار حاشیه اقیانوس آرام، افیولیت‌های نوار آلپ-هیمالیا و

افیولیت‌ها در نقاط مختلفی از دنیا بروند دارد. از

این بررسی با تکیه بر آنالیز شیمیایی کانی‌های مجموعه سنگ‌های اولترامافیک-مافیک توالی پوسته‌ای توأم با بررسی ویژگی‌های میکروسکوپی کانی‌ها و روابط صحرایی واحدهای سنگی انجام شده است که در آن بحث ژئوشیمی و پترولوزی مرتبه با جایگاه ژئودینامیک زایش کمپلکس افیولیتی بررسی شده است.

روش انجام پژوهش

تعیین شیمی عناصر اصلی کانی‌ها با روش آنالیز مایکروپرورب با دستگاه CAMEBAX Cameca در مؤسسه ژئوساینس و ژئوریزورس شهر پادوا (Padova) ایتالیا انجام شده است. در این روش شتاب ولتاژ (acceleration voltage) حدود ۱۵ کیلو الکترون ولت و جریان نمونه حدود ۲۰ میکرو آمپر با زمان ۱۰۰ ثانیه به کار برده شد. دقیق آنالیز (25) برای عناصر دارای محدوده تمرکز بین ۱۰ تا ۲۰ درصد وزنی بهتر از 2 ± 2 درصد، برای عناصر دارای محدوده تمرکز بین ۲ تا ۱۰ درصد وزنی بهتر از ۵ درصد و برای عناصر دارای محدوده تمرکز بین ۰/۵ تا ۲ درصد وزنی بهتر از ۱۰ درصد است.

زمین‌شناسی منطقه

منطقه بررسی شده در حد فاصل بین افیولیت جنوب بیرجند و افیولیت چهل کوره و در محدوده عرض‌های جغرافیایی $^{\circ}30^{\circ}$ تا $^{\circ}31^{\circ}$ شمالی و طول‌های جغرافیایی $^{\circ}05^{\circ}$ تا $^{\circ}15^{\circ}$ شرقی و وسعتی حدود ۹۰۰ کیلومتر مربع دارد.

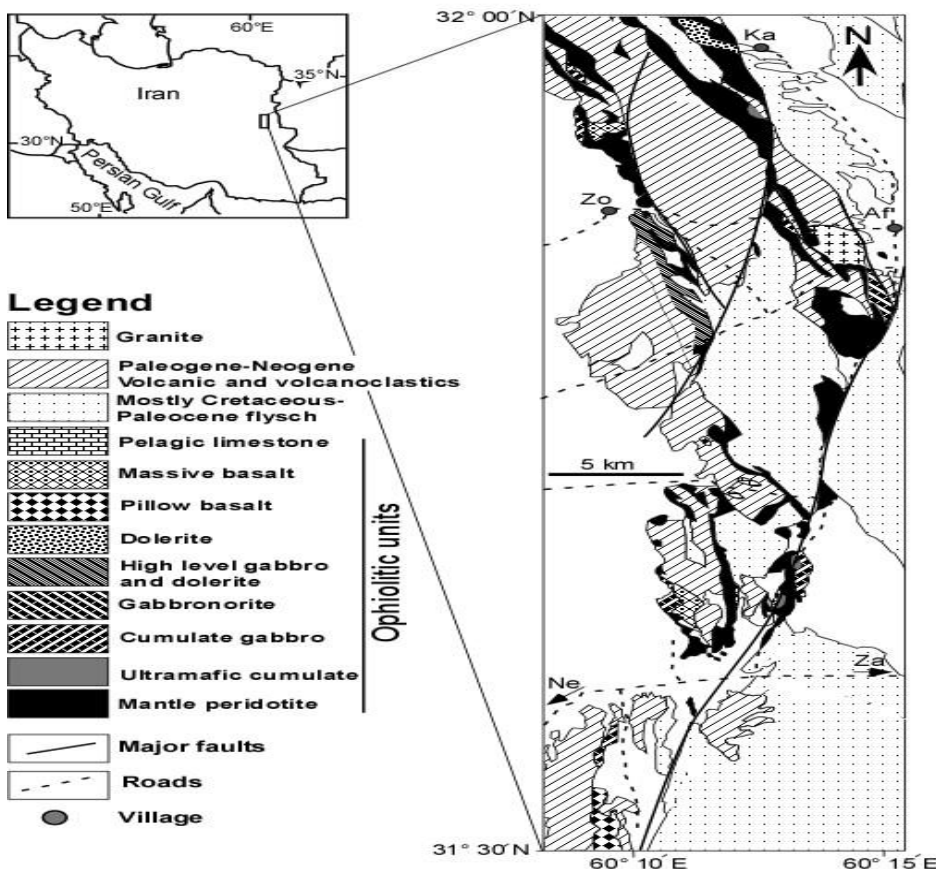
در موقعیت مورد بحث، پریدوتیت‌های گوشه‌های بیشترین فراوانی را دارد و علاوه بر آنها مجموعه سنگ‌های توالی پوسته‌ای افیولیتی شامل: سنگ‌های اولترامافیک انباشتی (دونیت و پیروکسنیت)، تروکتولیت و گابروی انباشتی، گابرونوریت، گابروی ایزوتروپ، پلاژیوگرانیت،

افیولیت‌های نوار آپالاش-کالدونیایی اشاره کرد (Dilek *et al.*, 2000). در ایران نیز افیولیت‌ها از گستردگی تقریباً بالایی برخوردارند و شاهدی از بر جای مانده‌های بخش‌هایی از لیتوسفر اقیانوسی در بخش‌های میانی نوار آلپ-هیمالیا است. تحقیقات بر روی افیولیت‌ها گذشته از مباحث پترولوزیکی نقش به سزاگی در تفهیم تکتونیک کلی منطقه‌ای و فرا منطقه‌ای دارد. در شرق ایران و در امتداد زمین‌درز سیستان ضخامت‌های گسترد نهشته‌های دریای عمیق در کنار آمیزه‌های افیولیتی (Delaloye and Desmons, 1980) تعیین کننده مرز بلوک‌های قاره‌ای لوت و افغان است. افیولیت‌های شرق ایران (زمین‌درز سیستان) به عنوان بر جای مانده‌های لیتوسفر اقیانوسی سیستان که در اثر برخورد بلوک‌های قاره‌ای اطراف طی پایان کرتاسه تا ابتدای ترسیر به زیر بلوك افغان یا لوت فرارانش کرده و یا به صورت بخشی بر روی حاشیه لوت فرارانش نموده تفسیر می‌شود (Tirrul Saccani *et al.*, 1983; Delavari, 2010; Zarrinkoub *et al.*, 2012, 2010). بحث بر روی ژئوشیمی افیولیت‌های شرق ایران علیرغم پژوهش‌های که در سال‌های اخیر انجام شده (Zarrinkoub *et al.*, 2010; Saccani *et al.*, 2010) ۲۰ هنوز جای بحث زیادی دارد.

داده‌های شیمیایی کانی‌ها در کنار خصلت‌های میکروسکوپی سنگ‌ها در توالی سنگ‌های پلوتونیک پوسته‌ای ابزارهای بسیار مفیدی در تفاسیر پترولوزیکی و ژئودینامیکی است (Lachize *et al.*, 1996; Clénet *et al.*, 2006; Yamasaki *et al.*, 2006; Bnayain, 2010). بنابراین، در این پژوهش سعی شده است سنگ‌های پلوتونیک توالی پوسته‌ای بخشی از افیولیت‌های زمین‌درز سیستان (کمپلکس افیولیتی نهبدان) در حد فاصل بین افیولیت جنوب بیرجند و افیولیت چهل کوره مورد بحث و بررسی قرار گیرد.

افیولیتی شرق ایران هم به صورت واحدهای متافیولیتی و هم واحدهای دگرگون نشده است. رخسارهای متافیولیتی اغلب در بخش شرق زمین درز سیستان نمایان می‌شود. غالباً رخمنونهای افیولیتی شرق ایران رخسارهای افیولیتی دگرگون نشده است. در محدوده بررسی شده واحدهای سنگی افیولیتی شامل موارد زیر است:

bazalt بالشی و توده‌ای و آهکهای پلازیک است که تقریباً یک توالی افیولیتی نسبتاً کامل نوع پنروز (Anonymous, 1972) را به نمایش می‌گذارد (شکل ۱). علاوه بر حضور واحدهای افیولیتی یاد شده نهشته‌های دریابی فلیشی و کربناته (کرتاسه تا اوسن) و سنگ‌های ولکانیکی و ولکانوکلاستیک (اثوسن تا پلیوسن) رخمنونهای وسیعی را به نمایش می‌گذارد. مجموعه سنگ‌های



شکل ۱- نقشه زمین‌شناسی ساده شده واحدهای افیولیتی شمال نهندان. اقتباس با تغییر از Af: افضل آباد، Ka: کلاته حبیب، Ne: نهندان، Zo: زابل، Za: ذهب

کلینوپیروکسن-هارزبورزیت در پریدوتیت‌های گوشته‌ای وجود دارد که در این بین کلینوپیروکسن-هارزبورزیت‌ها گستردگی کمتر داشته و حجم غالب به هارزبورزیت اختصاص دارد. کن tact پریدوتیت‌ها با واحدهای مجاور افیولیتی و

پریدوتیت‌های گوشته‌ای در بین مجموعه سنگ‌های متعلق به توالی افیولیتی منطقه بررسی شده پریدوتیت‌های گوشته‌ای بیشترین گستردگی را دارد. از نظر سنگ‌شناسی تنوعی از هارزبورزیت و

۱۵۰ تا ۲۰۰ متر داشته و با مرز گسله در کنار پریدوتیت‌های گوشه‌ای، واحدهای تخریبی ترسیر، فیلیت‌ها و فلیش‌های کرتاسه-پالئوسن قرار می‌گیرد. این واحد در صحراء کمتر ساختار لایه‌ای نشان می‌دهد و مانند پریدوتیت‌های اطراف نمای توده‌ای دارد. دایک‌های متعددی در این واحد تزریق شده‌اند که ضخامت آنها از کمتر از ۱۰ سانتی‌متر تا بیش از یک متر می‌رسد. امتداد دایک‌های تزریق شده از جهت خاصی پیروی نکرده و پراکندگی نشان می‌دهد. ترکیب دایک‌ها غالباً در محدوده ترکیبی گابرو و گابرونوریت است و اندازه کانی‌ها در نمونه دستی نیز از ریزبلور تا درشت‌بلور متغیر است. رخنمون‌های دیگری از پیروکسنیت‌های انباشتی با حجم کمتر و به طور پراکنده در دیگر نقاط وجود دارد که شامل: الیوین و بستریت، وبستریت و پیروکسنیت است. در یکی از این واحدها اندازه کانی‌های پیروکسن گاهی تا حدود ۸ سانتی‌متر نیز می‌رسد (شکل ۲-۱). این واحد در سطح رخنمون ضخامتی حدود ۴۰ تا ۵۰ متر یا بیشتر نشان داده و با مرز گسله از یکسو در کنار پریدوتیت‌های گوشه‌ای و از سمت دیگر به گابرونوریت و دیوریت انباشتی ختم می‌شود. بروند سنگ‌های دونیتی در شمال معدن کرومیت بندان دیده می‌شود (شکل ۲-۲) (خارج از محدوده نقشه زمین‌شناسی در شکل ۱). ضخامت این واحد حدود ۳۰۰ متر است. هارزبورزیت گوشه‌ای از یک سو و یک واحد گابرونوریت فلسیک از سوی دیگر در مجاورت دونیت قرار گرفته است. دونیت قاعده‌ای توسط دایک‌های مختلف گابرونوری قطع شده است. راستای دایک‌ها در سطح رخنمون جهت‌یافته‌گی خاصی نشان نمی‌دهد. این دایک‌ها به شدت آلتره است و جایگزینی قسمت اعظم کانی‌های اولیه فرومیزین با کانی‌های ثانویه رنگ لوکوکرات به دایک‌ها بخشیده است.

غیر افیولیتی غالباً گسلی است. واحدهای افیولیتی مجاور پریدوتیت‌ها شامل: پیروکسنیت‌ها و تروکتولیت‌های کومولایی، گابروهای کومولایی، گابروهای ایزوتروپ، دیاباز و بازالتهای توده‌ای است. کنار هم قرار گرفتن این واحدها که در یک افیولیت دست‌نخورده و سالم به لحاظ موقعیت قرارگیری و روابط عمق تا سطح در نقاط مختلف توالی چینه‌ای قرار می‌گیرد نشان‌دهنده جابجایی گستره‌ده و بهم ریختگی کامل لیتوسفر اقیانوسی بالا آمده است. واحدهای گوشه‌ای در نقاط مختلف توسط رگه‌ها، دایک‌ها، لنزا و توده‌های مافیک قطع شده‌اند. اندازه نفوذی‌های مافیک تزریق شده درون پریدوتیت‌های گوشه‌ای متفاوت و از رگه‌های در حد سانتی‌متر تا دایک‌های با ضخامت چندین متر و نیز توده‌های با وسعت بیش از چند صد متر مربع تغییر می‌کند. این سنگ‌ها تنوعی از گابرو، دلریت، بازالت، گابرونوریت و تروکتولیت را دارا است که به لحاظ فراوانی توده‌های گابرونوری و دلریتی غلبه دارد. پریدوتیت‌های گوشه‌ای کهوبیش تحت تأثیر دگرسانی قرار گرفته‌اند. علاوه بر پدیده معمول سرپانتینی شدن، لیستونیت نیز جزو محصولات دگرسانی پریدوتیت‌ها است که به صورت دایک، لنز و توده‌های کم حجم ظاهر می‌شود. به علاوه منیزیت از دیگر محصولات ثانویه‌ای است که به صورت توده‌های متعدد درون پریدوتیت‌های سرپانتینیزه دیده می‌شود. رگه‌ها و دایک‌های منیزیتی گاهی نمای گل کلمی زیبایی به نمایش می‌گذارند.

اولترامافیک‌های انباشتی

این سنگ‌ها شامل: الیوین و بستریت، وبستریت و دونیت است. گستردگی در سطح رخنمون در واحدهای یادشده از ده‌ها متر تا بیش از ۲۰۰ متر تغییر می‌کند. یکی از گستردگترین واحدهای پیروکسنیتی (الیوین و بستریت) ضخامتی حدود

علاوه دایک‌های بازالتی تیره رنگ تا قهوه‌ای تیره با حاشیه انجامداد سریع نیز در برخی نقاط گابروها را قطع کرده‌اند (گابروهای جنوب روستای ذهاب). این دایک‌ها از نظر ژئوشیمی مشابه سنگ‌های ولکانیکی ائوسن است و چون به موازات روند شکستگی‌های غالب منطقه (مربوط به زمان ترسیر و بعد از جایگیری افیولیت) در جهت شمال‌غربی تزریق شده‌اند آنها منتبه به ژنز غیر افیولیتی و مرتبط با ماقماتیسم تأخیری منطقه دانسته می‌شود.

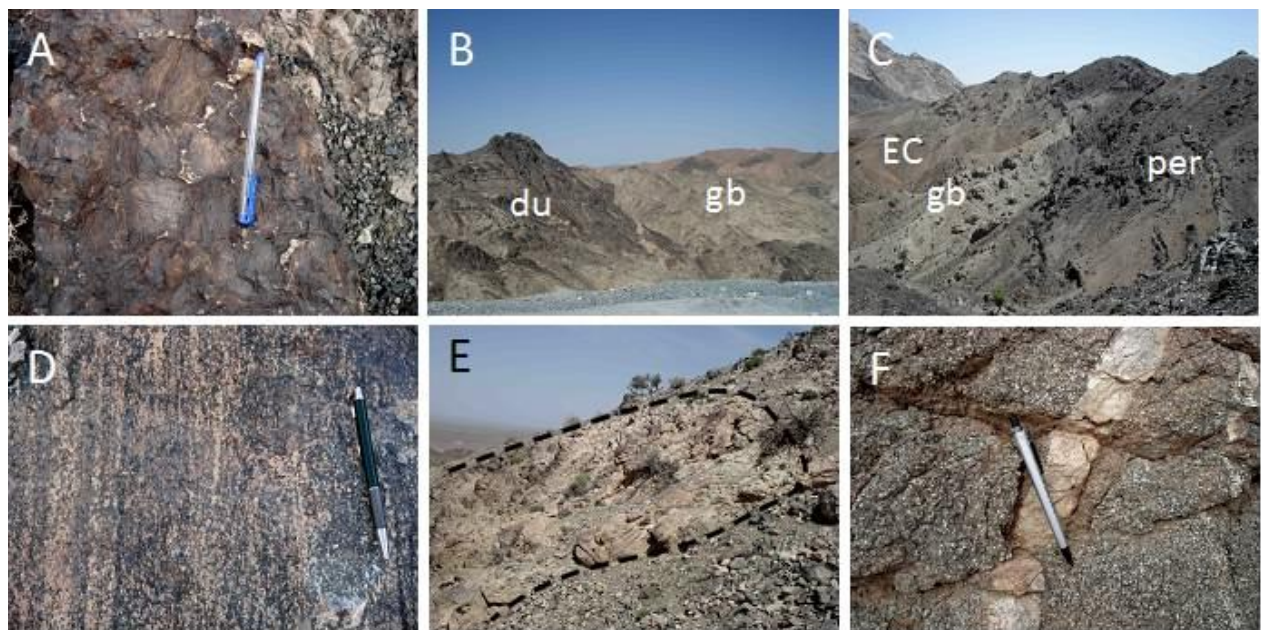
گابروی ایزوتروب با تغییر تدریجی از گابروهای انباشتی به سمت بالای توالی چینه‌ای ظاهر می‌شود. از ویژگی‌های صحرایی متمایز این سنگ‌ها حضور رگه‌ها، دایک‌ها (شکل ۲-F) و آپوفیزهای پلازیوگرانیتی (شکل ۲-E) با ضخامت چندین متر است. وجود هورنبلند اولیه در برخی نمونه‌ها یکی از وجوده متمایز گابروهای افق فوقانی است که در دیگر واحدهای گابرویی مشاهده نشده‌اند. در برخی نقاط (شمال جاده نهنگان به زابل) واحدهای دیوریتی نیز حضور دارد که بافت دانه‌متوسط تا دانه‌ریز داشته و در سطح رخنمون گسترش زیادی ندارد که ارتباط این واحدها با واحدهای اطراف نیز گسله است.

واحدهای گابرونوریتی از دیگر واحدهای مهم مافیک است. گابرونوریت‌ها گسترش زیادی نداشته و هم به صورت انباشتی و هم به صورت دایک درون واحدهای گابرویی و پریدوتیت‌های گوشه‌ای حضور دارد. در برخی نقاط، پیروکسنتیت انباشتی و هارزبورژیت گوشه‌ای در مجاورت گابرونوریت قرار دارد. تماس با پیروکسنتیت به نظر می‌رسد بیانگر یک رابطه چینه‌شناسی اولیه (تماس اولیه) است که متفاوت با دیگر بروزدهای گابرویی است ولی نوع تماس با هارزبورژیت گوشه‌ای گسله است.

مجموعه سنگ‌های مافیک-حد بواسطه پلوتونیک
این سنگ‌ها شامل: تروکتولیت، گابرو و گابرونوریت انباشتی و گابروی ایزوتروب است. واحد تروکتولیتی ضخامت حدود ۱۵ تا ۲۰ متری داشته و از سمت غرب با تماس گسله در کنار پریدوتیت گوشه‌ای و از سمت شرق در کنار یک واحد گابرویی قرار می‌گیرد. لایه‌بندی ریتمیک که حاصل تکرار لایه‌های غنی از الیوین و پلازیوکلاز است در مقیاس رخنمون و نمونه دستی واضح است (شکل ۲-D).

اندازه کانی‌ها معمولاً کمتر از یک سانتی‌متر است. واحدهای گابرویی پس از پریدوتیت‌های گوشه‌ای بیشترین حجم را به خود اختصاص می‌دهد که در بین خود آنها نیز بیشترین حجم به گابروهای معمولی اختصاص دارد. گستردگی واحدها در سطح رخنمون از کمتر از ۱ کیلومتر تا بیش از ۵ کیلومتر می‌رسد. در اغلب موارد مرز واحدهای گابرویی با واحدهای مجاور گسله است (شکل ۲-C). واحدهای مجاور گابروها شامل: پریدوتیت‌های گوشه‌ای، تروکتولیت، دلریت و بازالت، واحدهای رسوبی کم عمق و عمیق (شامل: سنگ‌های آهکی و فلیشی) و آواری‌های ترسیر است. اختصاصات بافتی واحدهای گابرویی دارای تنوع است که شامل: گابروهای انباشتی فولیاسیون دار، گابروهای دانه‌متوسط و دانه‌ریز است. گابروهای لایه‌ای درشت‌بلور با لایه‌بندی شاخص کمتر دیده می‌شود.

گابرونوریت در مقایسه با واحدهای گابرویی گسترش صحرایی کمتری دارد. درون واحدهای گابروی معمولی حضور رگه‌ها و دایک‌هایی از گابروی دانه‌درشت‌تر در پاره‌ای موارد مشاهده می‌شود که ضخامت آنها از چند سانتی‌متر تا نیم متر می‌رسد. به



شکل ۲-۲(A) بافت ادکومولا (که از روی فقدان درصد در خور توجه بلورهای زمینه مشخص است) در پیروکسنتی انباشتی درشت بلور که در آن اندازه پیروکسن تا ۸ سانتی متر نیز می‌رسد. اندک پلازیوکلازهای حاضر در بعضی نمونه‌ها فضای بین دانه‌های دانه‌های پیروکسن را پر کرده است. (B) دونیت انباشتی (du) شمال معدن کرومیت بندان. بخش فلزیک سمت راست تصویر (gb) یک واحد گابرویی است که با مرز گسله واضح در مجاورت دونیت قرار گرفته است. (C) واحد گابرویی انباشتی (gb) که با مرز گسله در کنار واحد پریدوتیتی (EC) و آواری اوسن (per) قرار گرفته است. (D) لایه‌بندی مودال الیوین و پلازیوکلاز در تروکتولیت که تشکیل لایه‌های تیره و روشن داده است. (E) آپوفیز پلازیوگرانیتی که درون گابروهای ایزوتربپ نفوذ کرده است (ابعاد تقریبی 30×20 متر در سطح رخمنون). (F) رگه پلازیوگرانیتی با تماس واضح نسبت به گابروی میزان. بافت ریزدانه و ایزوتربپ گابروی در بر گیرنده تا اندازه‌های مشخص است.

پلازیوکلاز نیز فراوانی مودال کمتر از ۵ درصد دارد. پیروکسن (ارتیو-و کلینوپیروکسن) نیمه‌شکل دار و تا اندازه‌های شکل دار است. در حالی که پلازیوکلاز به صورت فاز اینترکومولوس بی‌شکل ظاهر می‌شود و بیانگر آخرین فاز در روند تبلور است. بافت این سنگ‌ها در مواردی درشت بلور است. به طوری که اندازه دانه‌های پیروکسن تا ۸ سانتی متر نیز می‌رسد. تغییرات ساب‌سولووس در پیروکسن‌ها با ظهور تیغه‌های جدایشی آشکار است (شکل ۳-B). در نتیجه دگرسانی، پیروکسن تا اندازه‌های کلریتی شده و پلازیوکلاز به شدت سوسوریتی شده است. در دونیت نسبت مودال کانی‌ها شامل: ۹۰ تا ۹۵ درصد الیوین و ۵ تا ۱۰ درصد پلازیوکلاز است. اندازه پلازیوکلاز معمولاً

پتروگرافی اولترامافیک‌های انباشتی

در الیوین-وبسترتیت انباشتی که بافت دانه‌متوسط دارد (اندازه کانی‌ها کوچکتر از ۵ میلی‌متر) (شکل ۳-A) الیوین، کلینوپیروکسن و ارتوبیروکسن به ترتیب دارای فراوانی مودال ۵ تا ۳۵ درصد، ۳۰ تا ۶۵ درصد و ۵ تا ۶۰ درصد است. این کانی‌ها غالباً بی‌شکل تا نیمه‌شکل دار و بافت سنگ نیز اغلب ادکومولای است. میزان دگرسانی در مقطع نازک کمتر از ۳۰ درصد و محصولات آن سرپاتین و کلریت است. در وبسترتیت نسبت مودال کلینوپیروکسن افزون‌تر از ارتوبیروکسن است (کلینوپیروکسن بین ۵۵ تا ۷۰ درصد و ارتوبیروکسن بین ۳۰ تا ۴۵ درصد). به علاوه

۶۰ تا ۷۵ درصد و ۲۵ تا ۴۰ درصد دارد. بافت سنگ دانه‌متوسط است و در برخی واحدها بافت جریانی گرانولار (شکل C-۳) دیده می‌شود. به علاوه بافت آلتريومورفیک-گرانولار و افیتیک-سابافیتیک نیز وجود دارد (شکل D-۳) که روند تبلور با توجه به روابط کانی‌ها در مقطع نازک پلازیوکلاز \leftarrow پلازیوکلاز+کلینوپیروکسن را نشان می‌دهد. میزان دگرسانی ضعیف تا نسبتاً شدید است که در آن پلازیوکلاز کلریتی و اپیدوتیتی شده و محصولات دگرسانی کلینوپیروکسن نیز کلریت، اورالیت، اکسید آهن و به ندرت اسفن است.

در گابرونوریت انباشتی کلینوپیروکسن، پلازیوکلاز، ارتوبیپروکسن و الیوین مجموعه کانی‌شناسی اولیه را تشکیل می‌دهد. نسبت مودال کانی‌ها شامل ۳۰ تا ۴۰ درصد کلینوپیروکسن (دیوپسید)، ۵ تا ۲۵ درصد ارتوبیپروکسن (انستاتیت)، ۲۵ تا ۴۵ درصد پلازیوکلاز و ۲ تا ۷ درصد الیوین است. بافت سنگ اغلب میکروگرانولار تا گرانولار دانه‌متوسط و به طور نادر دانه‌درشت است. الیوین، کلینوپیروکسن و ارتوبیپروکسن نیمه‌شکل دار تا شکل دار اما پلازیوکلاز عموماً به شکل و به صورت فاز پر کننده بین بلورها در فضای بین دیگر فازها است (شکل E-۳). با توجه به روابط کانی‌ها در مقطع نازک به نظر می‌رسد در روند تبلور ابتدا الیوین، سپس کلینوپیروکسن و ارتوبیپروکسن و در نهایت، پلازیوکلاز متبلور شده است.

گابروی ایزوتروپ

بافت، اغلب میکروگرانولار هم‌بعد (اندازه دانه‌ها اغلب کمتر از ۱ میلی‌متر) تا افیتیک-سابافیتیک و اینترگرانولار و مجموعه کانی‌های اولیه شامل: پلازیوکلاز و کلینوپیروکسن و حدود ۲ تا ۳ درصد هورنبلند مودال است. آمفیبول (تا ۳ میلی‌متر) دارای ادخال‌های پلازیوکلاز است که گاهی به صورت

کمتر از ۲ میلی‌متر و الیوین کمتر از ۵ میلی‌متر است. این کانی‌ها دگرسانی شدید نشان می‌دهد که قالب‌های برجای‌مانده از الیوین نیمه‌شکل دار تا شکل دار، در حالی که پلازیوکلاز به طور کامل بی‌شکل است. بر اساس روابط بافتی ابتدا تبلور و تهنشست فاز کومولوس یعنی الیوین انجام شده و پس از آن پلازیوکلاز به صورت اینترکومولوس تبلور یافته است. در این سنگ‌ها پیروکسن دیده نمی‌شود و یا ممکن است بر اثر دگرسانی زیاد غیر قابل تشخیص شده باشد.

مجموعه سنگ‌های مافیک-حدواسط پلوتونیک

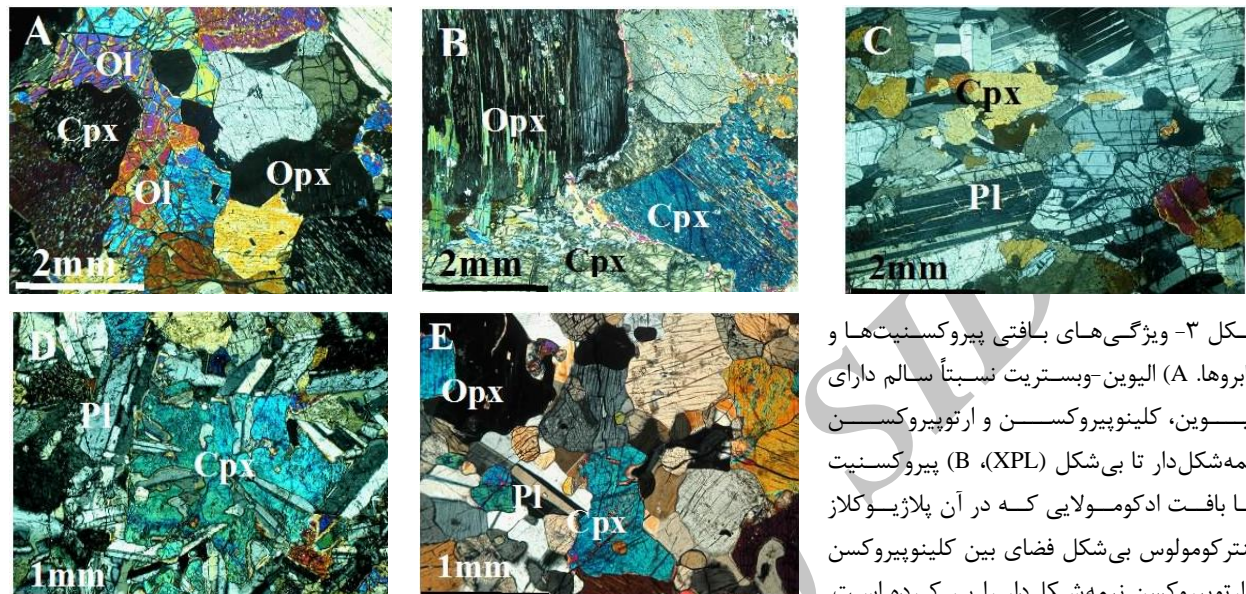
گابروها

گابروی انباشتی، گابرونوریت انباشتی و گابروی ایزوتروپ تشکیل دهنده طیف رخمنون‌های گابرویی در افیولیت بررسی شده است که گابروی انباشتی نسبت به بقیه از برتری حجمی برخوردار است.

گابرو-گابرونوریت انباشتی

گابروی تروکتولیتی که حجم زیادی ندارد با مجموعه کانی‌های الیوین و پلازیوکلاز با نسبت مودال تقریباً یکسان (پلازیوکلاز ۵۰ تا ۵۵ درصد و الیوین ۴۵ تا ۵۰ درصد حجمی) مشخص می‌شود. بافت اغلب دانه‌متوسط تا گاهی دانه‌درشت است و اندازه کانی‌ها عموماً کمتر از ۳ میلی‌متر است. فابریک انباشتی با لایه‌بندی تکراری کانی‌های سازنده همراه است. این لایه‌ها اغلب ایزو مودال‌اند و در مقیاس یک لایه تغییرات نسبت مودال کانی‌ها دیده نمی‌شود. دانه‌های الیوین اکثراً نیمه‌شکل دار تا اندکی شکل دار و پلازیوکلاز نیمه‌شکل دار تا بی‌شکل است. دگرسانی کانی‌ها نسبتاً شدید است به طوری که الیوین تا بیش از ۷۰ درصد سرپانتینی شده و پلازیوکلاز با سربیسیت و کانی‌های رسی جایگزین شده است. در گابروهای انباشتی، پلازیوکلاز و کلینوپیروکسن به ترتیب نسبت مودال

ثانویه همچون: کلریت، اپیدوت، اورالیت، آلبیت، ماغنتیت و اسفن جایگزین مجموعه کانی‌های اولیه همچون: کلینوپیروکسن و پلازیوکلاز شده است.



شکل ۳- ویژگی‌های بافتی پیروکسنیت‌ها و گابروها. (A) الیوین-فستریت نسبتاً سالم دارای الیوین، کلینوپیروکسن و ارتوپیروکسن نیمه‌شكل دار تا بی‌شکل (XPL)، (B) پیروکسنیت با بافت ادکومولایی که در آن پلازیوکلاز اینترکومولوس بی‌شکل فضای بین کلینوپیروکسن و ارتوپیروکسن نیمه‌شكل دار را پر کرده است.

همچنین، تیغه‌های جدایشی کلینوپیروکسن درون ارتوپیروکسن به وضوح دیده می‌شود (XPL)، (C) فولیاسیون ماقماتیک حاصل جهت‌یافته پلازیوکلازهای ناهم بعد در گابروی انباشتی باافت آلوتریومورفیک-گرانولار (XPL)، (D) تبلور تأخیری کلینوپیروکسن نسبت به پلازیوکلاز و رشد آن در فضای بین دانه‌های پلازیوکلاز در گابروی انباشتی (XPL)، (E) کلینوپیروکسن و ارتوپیروکسن شکل دار تا نیمه‌شكل دار و پلازیوکلاز بی‌شکل نشان‌دهنده تبلور تأخیری پلازیوکلاز در گابرونوریت انباشتی (XPL). OI: الیوین، Cpx: کلینوپیروکسن، Opx: ارتوپیروکسن، Pl: پلازیوکلاز.

وزنی و $Mg\#$ بین ۸۳/۳۰ تا ۸۷/۷۱ تغییر می‌کند. ترکیب ارتوپیروکسن به صورت $En_{80.5-83}Fs_{14.5-16.5}Wo_{1.5-3}$ است (شکل ۴). در کلینوپیروکسن نیز TiO_2 تمرکز بالایی نداشت و حدود ۰/۰۴ تا ۰/۱۳ درصد وزنی است. Cr_2O_3 و Al_2O_3 به ترتیب تمرکزی حدود ۱/۹۲ تا ۲/۵۳ و ۰/۲۸ تا ۰/۶۵ درصد وزنی دارد که در این بین تمرکز Cr_2O_3 نسبتاً بالا است. $Mg\#$ در کلینوپیروکسن به صورت در خور توجهی بالا است و بین ۸۷/۰۶ تا ۹۳/۱۰ تغییر می‌کند. ترکیب کلینوپیروکسن شامل: اندازه‌ای اوزیت قرار می‌گیرد (شکل ۴). داده‌های شیمیایی کلینوپیروکسن و ارتوپیروکسن در گابرو و گابرونوریت‌های انباشتی در جدول ۳ ارایه شده است.

شیمی کانی‌ها

در جدول‌های ۱ و ۲ ترکیب شیمیایی الیوین، کلینوپیروکسن و ارتوپیروکسن در اولترامافیک‌های انباشتی ارایه شده است. در الیوین میزان فرسنریت بین ۰/۴۹ تا ۸۴/۳۷ درصد TiO_2 و CaO طبق معمول تمرکز اندکی دارد و به ترتیب از کمتر از حد تشخیص تا ۰/۰۳ و ۰/۰۴ درصد وزنی و NiO بین ۰/۱۹ تا ۰/۴۹ درصد وزنی ایست. همچنان، $Mg\#(Mg\#=100\times Mg/(Mg+Fe^{2+}))$ بین ۸۲/۴۲ تا ۸۴/۶۱ است. در ارتوپیروکسن TiO_2 کمتر از حد تشخیص تا ۰/۰۹ درصد وزنی است. Na_2O نیز از ۰/۰۵ درصد وزنی تجاوز نمی‌کند. میزان Al_2O_3 و Cr_2O_3 به ترتیب شامل: ۱/۵۵ تا ۲/۱۴ و ۰/۲۲ تا ۰/۵۳ درصد

جدول ۱- ترکیب شیمیایی اکسید عناصر اصلی الیوین در اولترامافیک‌های انباشتی پیروکسنیتی (محاسبه a.p.f.u بر اساس ۳ کاتیون و ۴ آنیون). (شماره قبل از اسم کانی مربوط به محدوده‌های تعیین شده برای آنالیز نقطه‌ای در مقطع است و شماره پس از نام کانی شماره نقاط آنالیز شده در آن محدوده است).

Sam.	5-44	5-44	5-44	3-33	3-33	3-33	3-33	3-33
Site-Min.	1-ol3	1-ol4	1-ol5	2-ol3	2-ol2	2-ol4	3-ol1	3-ol2
SiO ₂	39.50	38.94	40.96	39.97	40.59	40.32	39.83	40.38
TiO ₂	0.03	0.02	0.00	0.01	0.02	0.00	0.00	0.00
Al ₂ O ₃	0.00	0.00	0.01	0.04	0.05	0.03	0.00	0.03
Cr ₂ O ₃	0.00	0.05	0.03	0.00	0.00	0.00	0.00	0.05
FeO	14.72	14.71	15.74	16.28	16.06	16.13	16.48	15.70
MnO	0.24	0.28	0.21	0.20	0.19	0.29	0.23	0.15
MgO	41.81	45.37	43.68	42.25	44.48	42.96	43.35	44.10
CaO	0.03	0.04	0.00	0.01	0.03	0.00	0.04	0.03
Na ₂ O	0.07	0.06	0.00	0.03	0.02	0.00	0.01	0.01
NiO	0.19	0.34	0.34	0.47	0.40	0.45	0.43	0.27
Total	96.58	99.81	100.98	99.27	101.84	100.19	100.37	100.71
Si	1.025	0.983	1.020	1.017	1.005	1.015	1.004	1.009
Ti	0.001	0.000	0.000	0.000	0.000	0.000	0.000	0.000
Al	0.000	0.000	0.000	0.001	0.001	0.001	0.000	0.001
Cr	0.000	0.001	0.001	0.000	0.000	0.000	0.000	0.001
Fe ²⁺	0.320	0.310	0.328	0.346	0.333	0.340	0.347	0.328
Mn	0.005	0.006	0.005	0.004	0.004	0.006	0.005	0.003
Mg	1.617	1.707	1.620	1.603	1.641	1.613	1.629	1.642
Ca	0.001	0.001	0.000	0.000	0.001	0.000	0.001	0.001
Na	0.004	0.003	0.000	0.001	0.001	0.000	0.000	0.000
Ni	0.004	0.007	0.007	0.010	0.008	0.009	0.009	0.005
Total	2.976	3.018	2.980	2.983	2.994	2.984	2.996	2.990
Fo	83.28	84.37	82.99	82.04	82.98	82.34	82.22	83.22
Fa	16.45	15.34	16.78	17.73	16.81	17.35	17.53	16.63
Mg#	83.50	84.61	83.18	82.23	83.15	82.60	82.42	83.35

جدول ۲- ترکیب شیمیایی اکسید عناصر اصلی کلینوپیروکسن (cpx) و ارتوپیروکسن (cpx) در اولترامافیک‌های انباشتی پیروکسنیتی (محاسبه a.p.f.u بر اساس ۴ کاتیون و ۶ آنیون).

Sam.	5-44	5-44	3-33	3-33	3-33	3-33	3-33	3-33	5-44	5-44	5-44	5-44	3-33	3-33	3-33	3-33
Site-Min.	1-cpx1	2-cpx2	1-cpx1	1-cpx3	1-cpx4	1-cpx5	4-cpx1	4-cpx2	1-opx2	2-opx2	4-opx2	4-opx3	1-opx2	1-opx3	3-opx1	3-opx2
SiO ₂	53.59	53.99	52.95	52.88	53.13	52.96	53.19	53.04	56.74	56.50	53.40	56.81	56.02	55.91	56.51	56.58
TiO ₂	0.08	0.06	0.10	0.09	0.12	0.04	0.06	0.12	0.07	0.03	0.12	0.07	0.09	0.00	0.01	0.06
Al ₂ O ₃	2.14	2.23	2.44	2.26	2.39	2.34	2.33	2.53	1.65	1.76	1.55	1.66	2.09	1.83	1.96	2.14
Cr ₂ O ₃	0.28	0.45	0.63	0.57	0.51	0.65	0.65	0.64	0.31	0.39	0.22	0.26	0.31	0.44	0.37	0.53
FeO	3.89	4.44	3.76	3.25	4.02	3.92	4.19	4.77	10.49	9.80	9.41	9.62	9.82	10.78	10.48	10.63
MnO	0.21	0.09	0.13	0.04	0.11	0.24	0.07	0.06	0.26	0.22	0.17	0.13	0.11	0.28	0.13	0.21
MgO	16.70	16.95	16.32	16.48	17.09	16.66	16.75	17.14	30.99	31.19	30.14	31.34	30.30	30.15	30.29	30.25
CaO	23.45	22.88	23.91	24.37	23.14	23.64	23.13	22.48	0.94	1.42	2.56	1.33	1.47	1.15	0.93	0.73
Na ₂ O	0.07	0.12	0.08	0.11	0.02	0.06	0.03	0.12	0.02	0.00	0.05	0.01	0.02	0.04	0.02	0.00
K ₂ O	0.01	0.01	0.01	0.00	0.01	0.01	0.03	0.00	0.03	0.03	0.03	0.00	0.00	0.00	0.04	0.05
Total	100.4	101.2	100.3	100.0	100.6	100.5	100.4	100.9	101.5	101.4	97.7	101.2	100.2	100.6	100.7	101.2
Si	1.949	1.949	1.930	1.928	1.928	1.925	1.936	1.920	1.967	1.959	1.924	1.967	1.962	1.961	1.971	1.966
Ti	0.002	0.002	0.003	0.003	0.003	0.001	0.002	0.003	0.002	0.001	0.003	0.002	0.002	0.000	0.000	0.002
Al	0.092	0.095	0.105	0.097	0.102	0.100	0.100	0.108	0.068	0.072	0.066	0.068	0.086	0.076	0.081	0.088
Cr	0.008	0.013	0.018	0.016	0.015	0.019	0.019	0.018	0.008	0.011	0.006	0.007	0.009	0.012	0.010	0.015
Fe ³⁺	0.002	0.000	0.018	0.033	0.021	0.033	0.008	0.037	0.000	0.000	0.057	0.000	0.000	0.000	0.000	0.000

Sam.	5-44	5-44	3-33	3-33	3-33	3-33	3-33	3-33	5-44	5-44	5-44	5-44	3-33	3-33	3-33	3-33
Site-Min.	1-cpx1	2-cpx2	1-cpx1	1-cpx3	1-cpx4	1-cpx5	4-cpx1	4-cpx2	1-opx2	2-opx2	4-opx2	4-opx3	1-opx2	1-opx3	3-opx1	3-opx2
ادامه جدول ۲																
Fe ²⁺	0.116	0.134	0.097	0.066	0.101	0.086	0.119	0.107	0.304	0.284	0.227	0.279	0.288	0.316	0.306	0.309
Mn	0.007	0.003	0.004	0.001	0.004	0.007	0.002	0.002	0.008	0.006	0.005	0.004	0.003	0.008	0.004	0.006
Mg	0.905	0.912	0.887	0.896	0.925	0.903	0.909	0.925	1.601	1.612	1.619	1.618	1.582	1.577	1.575	1.567
Ca	0.914	0.885	0.934	0.952	0.900	0.921	0.902	0.872	0.035	0.053	0.099	0.049	0.055	0.043	0.035	0.027
Na	0.005	0.008	0.005	0.008	0.001	0.004	0.002	0.009	0.002	0.000	0.004	0.001	0.001	0.002	0.001	0.000
K	0.000	0.000	0.001	0.000	0.000	0.001	0.001	0.000	0.001	0.001	0.001	0.000	0.000	0.000	0.002	0.002
Total	4.000	4.000	4.000	4.000	4.000	4.000	4.000	4.000	3.995	4.000	4.011	3.994	3.989	3.996	3.985	3.982
Al IV	0.051	0.051	0.070	0.072	0.072	0.075	0.064	0.080	0.033	0.041	0.066	0.033	0.038	0.039	0.029	0.034
Al VI	0.041	0.043	0.034	0.025	0.031	0.025	0.036	0.027	0.034	0.031	0.000	0.035	0.048	0.037	0.052	0.054
Wo	47.00	45.75	48.16	48.86	46.14	47.21	46.49	44.86	1.79	2.71	4.92	2.53	2.87	2.23	1.81	1.42
En	46.58	47.18	45.72	45.99	47.42	46.29	46.83	47.60	82.21	82.43	80.69	82.98	82.04	81.09	82.07	82.08
Fs	6.43	7.07	6.12	5.14	6.44	6.49	6.68	7.53	16.01	14.86	14.39	14.49	15.09	16.68	16.12	16.50
Mg#	88.61	87.18	90.15	93.10	90.13	91.28	88.42	89.61	84.04	85.01	87.71	85.31	84.62	83.30	83.75	83.53

جدول ۳- ترکیب شیمیایی اکسید عناصر اصلی کلینوپیروکسن و ارتپیروکسن در گاببرو و گابرونوریت انباشتی (محاسبه a.p.f.u بر اساس ۶ کاتیون و ۶ آنیون).

Sam.	gabbronorite								gabbro							
	3--14	3--13	3--13	3--14	3--14	3--14	3--13	3--13	5--74	5--74	5--74	5--16	5--16	5--16	5--16	5--16
Site-Min.	4-cpx1	2-cpx2	2-cpx3	5-cpx1	1-opx1	3-opx1	5-opx1	4-opx2	1-cpx1	1-cpx6	2-cpx4	3-cpx	2-cpx6	2-cpx7	2-cpx11	3-cpx13
SiO ₂	52.83	52.64	53.03	53.68	54.78	55.34	54.85	54.35	52.29	52.61	53.09	52.53	53.05	53.18	53.01	50.96
TiO ₂	0.16	0.18	0.14	0.22	0.04	0.09	0.12	0.10	0.53	0.47	0.45	0.56	0.49	0.45	0.55	0.45
Al ₂ O ₃	2.11	2.10	1.82	1.09	1.42	1.46	1.38	1.36	2.26	2.53	2.20	2.29	2.24	2.42	2.49	3.24
Cr ₂ O ₃	0.42	0.49	0.28	0.27	0.25	0.19	0.23	0.18	0.28	0.29	0.06	0.08	0.09	0.22	0.11	0.11
FeO	6.86	6.13	6.63	6.50	14.53	14.20	15.40	14.18	5.06	5.32	5.47	5.35	5.43	5.74	6.06	5.72
MnO	0.12	0.21	0.23	0.15	0.29	0.30	0.36	0.27	0.15	0.12	0.09	0.08	0.18	0.15	0.18	0.32
MgO	16.27	16.02	16.29	16.14	27.53	27.43	26.27	27.89	15.90	15.85	16.29	16.17	16.42	15.97	16.02	15.11
CaO	21.41	22.05	21.44	22.41	1.61	1.50	1.60	1.32	22.60	22.53	22.30	22.62	22.65	22.50	21.23	
Na ₂ O	0.12	0.15	0.12	0.12	0.08	0.05	0.02	0.01	0.35	0.34	0.26	0.27	0.29	0.37	0.36	0.30
K ₂ O	0.00	0.00	0.01	0.00	0.01	0.00	0.00	0.01	0.00	0.03	0.04	0.00	0.02	0.00	0.01	0.01
Total	100.30	99.97	99.99	100.57	100.55	100.57	100.23	99.68	99.52	100.09	100.26	99.99	100.84	101.20	101.40	97.44
Si	1.938	1.937	1.951	1.966	1.956	1.973	1.975	1.954	1.926	1.927	1.941	1.925	1.927	1.929	1.920	1.921
Ti	0.004	0.005	0.004	0.006	0.001	0.003	0.003	0.003	0.015	0.013	0.013	0.015	0.013	0.012	0.015	0.013
Al	0.091	0.091	0.079	0.047	0.060	0.062	0.058	0.058	0.098	0.109	0.095	0.099	0.096	0.103	0.106	0.144
Cr	0.012	0.014	0.008	0.008	0.007	0.005	0.006	0.005	0.008	0.008	0.002	0.002	0.003	0.006	0.003	0.003
Fe ³⁺	0.021	0.022	0.012	0.008	0.024	0.000	0.000	0.025	0.038	0.026	0.015	0.037	0.042	0.035	0.046	0.007
Fe ²⁺	0.190	0.166	0.192	0.191	0.410	0.423	0.463	0.401	0.121	0.137	0.152	0.128	0.123	0.140	0.141	0.173
Mn	0.004	0.006	0.007	0.005	0.009	0.009	0.011	0.008	0.005	0.004	0.003	0.002	0.006	0.005	0.006	0.010
Mg	0.890	0.878	0.894	0.881	1.466	1.458	1.410	1.495	0.873	0.866	0.888	0.883	0.889	0.863	0.865	0.849
Ca	0.842	0.869	0.845	0.879	0.061	0.057	0.062	0.051	0.892	0.884	0.873	0.888	0.880	0.880	0.873	0.857
Na	0.009	0.011	0.008	0.008	0.006	0.003	0.002	0.001	0.025	0.024	0.018	0.019	0.021	0.026	0.025	0.022
K	0.000	0.000	0.001	0.000	0.001	0.000	0.000	0.000	0.001	0.002	0.000	0.001	0.000	0.001	0.001	0.001
Total	4.000	4.000	4.000	4.000	4.000	3.993	3.991	4.000	4.000	4.001	4.001	4.000	4.000	4.000	4.000	4.000
Al IV	0.062	0.063	0.049	0.034	0.044	0.027	0.025	0.046	0.074	0.073	0.059	0.075	0.073	0.071	0.080	0.079
Al VI	0.029	0.028	0.030	0.013	0.016	0.034	0.033	0.011	0.024	0.037	0.035	0.024	0.023	0.032	0.026	0.065
Wo	43.26	44.75	43.34	44.76	3.12	2.95	3.18	2.56	46.25	46.13	45.22	45.81	45.37	45.76	45.23	45.20
En	45.73	45.21	45.83	44.87	74.40	74.85	72.44	75.49	45.27	45.17	45.96	45.56	45.84	44.89	44.82	44.76
Fs	11.01	10.04	10.83	10.37	22.48	22.20	24.38	21.95	8.48	8.70	8.82	8.64	8.79	9.35	9.95	10.04
Mg#	82.42	84.08	82.32	82.22	78.14	77.49	75.26	78.85	87.80	86.36	85.36	87.34	87.83	86.06	85.99	83.05

می‌گیرد (شکل ۴). در گابریونوریت ارتوپیروکسن با TiO_2 کمتر از ۰/۱۰ درصد وزنی مشخص می‌شود. Na_2O , Cr_2O_3 و Al_2O_3 نیز به ترتیب ۱/۳۵ تا ۱/۵۹، ۰/۰۹ تا ۰/۰۶ و ۰/۰۳۳ درصد وزنی است و $Mg\#$ تغییرات بین ۷۵/۲۶ تا ۷۸/۸۵ را نشان می‌دهد. ترکیب ارتوپیروکسن به صورت $En_{72.44-75.55}Fs_{21.67-24.38}Wo_{2.50-3.18}$ است و در شکل ۴ در محدوده انستاباتیت قرار می‌گیرد.

ترکیب شیمیایی پلازیوکلاز مربوط به گابریونوریت و گابروهای انباشتی در جدول ۴ ارایه شده است. در پلازیوکلاز مربوط به گابروهای انباشتی Al_2O_3 تغییرات بین ۳۱/۷۴ تا ۳۲/۹۵ درصد وزنی دارد. نسبت آلبیت، آنورتیت و ارتوکلاز در ترکیب پلازیوکلاز به ترتیب: ۱۸/۹۱ تا ۲۴/۰۱، ۷۵/۳۱ تا ۸۰/۸۶ و ۰/۰۰ تا ۰/۳۶ درصد و به طور کلی، پلازیوکلاز در محدوده بیتونیت قرار می‌گیرد. در پلازیوکلاز مربوط به گابریونوریت، نسبت آلبیت، آنورتیت و ارتوکلاز به ترتیب ۲/۷۹ تا ۴/۸۴، ۹۴/۸۱ تا ۹۷/۱۶ و ۰/۰۰ تا ۰/۳۶ درصد است و به طور کلی، ترکیب آن در محدوده آنورتیت واقع می‌شود (شکل C-۷).

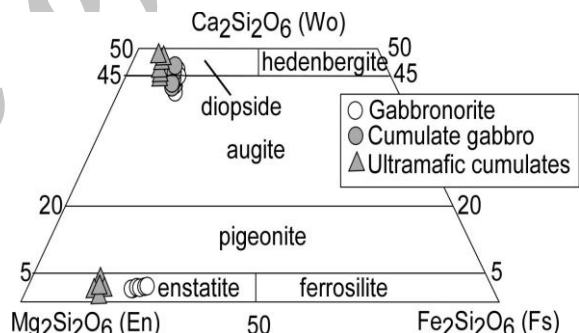
در گابروهای انباشتی کلینوپیروکسن ترکیب همگن دارد. کلینوپیروکسن در این سنگ‌ها نسبت به اولترامافیک‌های انباشتی ترکیب کاملاً متفاوتی دارد. TiO_2 مقدار نسبتاً بالایی دارد و تغییرات آن از ۰/۴۵ تا ۰/۵۹ درصد وزنی است. همچنین، Al_2O_3 و Cr_2O_3 به ترتیب بین ۲/۱۷ تا ۳/۲۴ و ۰/۰۶ تا ۰/۲۹ درصد وزنی تغییر می‌کند. از سوی دیگر، Na_2O بین ۰/۲۳ تا ۰/۳۶ درصد وزنی است و تمرکز بالایی نشان می‌دهد. ترکیب کلینوپیروکسن در حد دیوپسید تا اوژیت (شکل ۴) و از نظر سه سازنده ولاستونیت، انستاباتیت و فروسیلیت به صورت $En_{44.21-46.79}Fs_{8.48-10.47}Wo_{42.01-46.58}$ است. در کلینوپیروکسن مربوط به گابریونوریتها تمرکز پایینی دارد و مقدار آن ۰/۱۴ تا ۰/۲۲ درصد وزنی است. مقدار Al_2O_3 از ۱/۰۹ تا ۲/۱۴ درصد وزنی می‌رسد. Cr_2O_3 و Na_2O نیز به ترتیب ۰/۰۰ تا ۰/۱۰ و ۰/۱۰ تا ۰/۱۵ درصد وزنی است. $Mg\#$ از ۰/۴۹ تا ۰/۲۵ تغییر می‌کند. کلینوپیروکسن در گابریونوریت ترکیب شیمیایی $En_{44.87-46.51}Fs_{10.04-11.01}Wo_{42.94-44.76}$ دارد. در دیاگرام سه تایی پیروکسن در محدوده دیوپسید و اوژیت قرار

جدول ۴- ترکیب شیمیایی اکسید عناصر اصلی پلازیوکلاز در گابریونوریت انباشتی (محاسبه a.p.f.u بر اساس ۵ کاتیون و ۸ آئیون).

gabbronorite								gabbro							
Sam.	3--14	3--14	3--14	3--13	3--13	3--13	3--13	5--74	5--74	5--74	5--74	5--16	5--16	5--16	5--16
Site-Min.	1-pl1	1-pl2	2-pl1	3-pl2	3-pl3	4-pl1	4-pl3	5-pl2	2-pl5	2-pl2	2-pl4	2-pl6	5-pl7	5-pl8	
SiO_2	44.13	43.71	44.28	43.50	44.23	44.05	44.25	47.93	47.38	47.87	48.30	47.68	47.90	47.90	
TiO_2	0.00	0.02	0.02	0.00	0.03	0.02	0.08	0.07	0.02	0.02	0.03	0.06	0.05	0.07	
Al_2O_3	35.39	35.71	35.53	35.08	35.35	35.86	35.91	32.65	32.65	32.52	32.92	32.33	32.76	32.95	
Cr_2O_3	0.06	0.15	0.03	0.07	0.04	0.01	0.12	0.07	0.00	0.00	0.05	0.00	0.00	0.00	
FeO	0.41	0.40	0.40	0.40	0.50	0.42	0.42	0.40	0.37	0.38	0.42	0.30	0.29	0.40	
MnO	0.00	0.00	0.00	0.02	0.05	0.02	0.03	0.00	0.05	0.00	0.05	0.08	0.00	0.08	
MgO	0.01	0.12	0.07	0.16	0.05	0.10	0.08	0.08	0.04	0.06	0.07	0.05	0.06	0.06	
CaO	19.66	19.75	19.81	19.63	19.46	19.72	19.97	16.21	16.25	16.19	16.06	16.36	16.34	16.66	
Na_2O	0.48	0.52	0.48	0.55	0.45	0.45	0.40	2.53	2.37	2.39	2.33	2.37	2.46	2.15	
K_2O	0.01	0.03	0.00	0.06	0.04	0.02	0.01	0.01	0.03	0.04	0.06	0.02	0.00	0.04	

gabbronorite							gabbro							
Sam.	3--14	3--14	3--14	3--13	3--13	3--13	5--74	5--74	5--74	5--74	5--16	5--16	5--16	
Site-Min.	1-pl1	1-pl2	2-pl1	3-pl2	3-pl3	4-pl1	5-pl2	2-pl5	2-pl2	2-pl4	2-pl6	5-pl7	5-pl8	
ادامه جدول -۴														
Total	100.14	100.40	100.62	99.47	100.19	100.67	101.27	99.95	99.17	99.47	100.27	99.25	99.86	100.31
Si	2.043	2.022	2.041	2.032	2.047	2.030	2.028	2.203	2.195	2.209	2.209	2.207	2.202	2.195
Ti	0.000	0.001	0.001	0.000	0.001	0.001	0.003	0.002	0.001	0.001	0.001	0.002	0.002	0.002
Al	1.931	1.947	1.930	1.931	1.928	1.947	1.940	1.769	1.783	1.769	1.775	1.763	1.775	1.779
Cr	0.002	0.005	0.001	0.003	0.001	0.000	0.004	0.002	0.000	0.000	0.002	0.000	0.000	0.000
Fe ²⁺	0.016	0.015	0.015	0.016	0.019	0.016	0.016	0.015	0.014	0.015	0.016	0.012	0.011	0.015
Mn	0.000	0.000	0.000	0.001	0.002	0.001	0.001	0.000	0.002	0.000	0.002	0.003	0.000	0.003
Mg	0.001	0.008	0.005	0.011	0.003	0.007	0.005	0.006	0.003	0.004	0.005	0.004	0.004	0.004
Ca	0.975	0.979	0.978	0.982	0.965	0.974	0.981	0.798	0.807	0.801	0.787	0.811	0.805	0.818
Na	0.043	0.046	0.043	0.050	0.041	0.040	0.036	0.225	0.213	0.214	0.207	0.212	0.219	0.191
K	0.001	0.002	0.000	0.004	0.002	0.001	0.000	0.000	0.002	0.003	0.004	0.001	0.000	0.002
Total	5.012	5.025	5.014	5.028	5.009	5.017	5.015	5.022	5.020	5.014	5.007	5.016	5.018	5.010
Ab %	4.20	4.50	4.18	4.84	4.05	3.95	3.53	22.00	20.88	21.01	20.73	20.71	21.38	18.91
An %	95.74	95.34	95.82	94.81	95.73	95.91	96.43	77.96	78.97	78.74	78.91	79.15	78.62	80.86
Or %	0.06	0.15	0.00	0.36	0.22	0.13	0.04	0.04	0.15	0.25	0.36	0.14	0.00	0.22

شکل -۴ نمایش ترکیب ارتوپیروکسن و کلینوپیروکسن مربوط به انباشتی‌های اولترامافیک در دیاگرام سه‌تایی پیروکسن (Morimoto, 1989)



مراحلی از ذوب بخشی را متحمل شده است دارای $\text{CaO}/\text{Al}_2\text{O}_3$ نسبتاً بالایی خواهد بود که باعث روند تبلور الیوین \rightarrow کلینوپیروکسن \rightarrow پلازیوکلاز می‌شود (Browning, 1982).

با گذر از انباشتی‌های اولترامافیک در قاعده توالي پوسته‌ای به سمت بالا لیتولوژی سنگ‌های مافیک شامل: تروکتولیت، گابرو-دیوریت انباشتی، گابرونوریت انباشتی و گابروی ایزوتروپ روند تبلور نوع MORB (Mid-Ocean Ridge Basalt) به ترتیب با روند الیوین \rightarrow پلازیوکلاز+الیوین و پلازیوکلاز \rightarrow

بحث

کانی‌شناسی سنگ (نوع کانی‌ها، نسبت مواد و روند تبلور) در واقع انعکاسی از شیمی مذاب مادر است. در انباشتی‌های پیروکسنتیتی که با توجه به روابط کانی‌ها در مقطع نازک روند تبلور الیوین \rightarrow کلینوپیروکسن \rightarrow ارتوپیروکسن و یا کلینوپیروکسن \rightarrow ارتوپیروکسن \rightarrow پلازیوکلاز را نشان می‌دهد شیمی مذاب مادر می‌تواند دلیل اصلی تبلور تأخیری پلازیوکلاز در بین فازهای انباشتی باشد. عموماً مذاب‌هایی که از ذوب بخشی بالا یا گوشته‌ای حاصل شده‌اند که قبل از مرحله یا

است. ارتوبیروکسن یک فاز معمول در تعدادی از سنگ‌های پلوتونیک و افیولیت‌های مرتبط با قوس Bédard and Pearce *et al.*, 1984) است (Pearce *et al.*, 1984; Hébert, 1996). تبلور ارتوبیروکسن عموماً توأم با فوگاسیته بالای اکسیژن در مذاب است (Grove *et al.*, 1984) که دلیل محتمل آن فشار بخشی بالای آب در مذاب است. چندین فرآیند برای حصول گابرۇنورىتەها مطرح شده است. تبلور مذاب‌های تفریق یافته نوع MORB در انتهای بخش‌های پشتی میان اقیانوسی (Juteau *et al.*, 1988) و ماقماتیسم جزایر قوسی در جایگاه SSZ (Lachize *et al.*, 1996) و گسترش محدوده پایداری ارتوبیروکسن به دلیل چرخش سیالات (Boudier *et al.*, 2000) به دلیل اینکه گابرۇنورىتەها عموماً در ماگماتیسم MOR بسیار کمیاب است (Kelemen *et al.*, 2004) بنابراین، بحث منشأ SSZ از قدرت بیشتری برخوردار است.

در پیروکسنتیت منطقه بررسی شده میزان بالای MgO در الیوین (41/81 تا 45/81 درصد وزنی) تشابه زیادی با مجموعه سنگ‌های معادل در کمپلکس‌های افیولیتی‌ای دارد که در جایگاه SSZ شکل گرفته‌اند (Elthon *et al.*, 1984; Laurent, 1990; Hébert and Laurent, 1990) نسبتاً بالای #Mg و Cr₂O₃ در کلینوبیروکسن نیز قابل قیاس با داده‌های کلینوبیروکسن مربوط به اولترامافیک‌های انباشتی افیولیت‌های SSZ مثلاً (Elthon, 1987) (Bay of Island) BOI افیولیت است. از سوی دیگر، تمرکز پایین Ti در کلینوبیروکسن نیز تأیید کننده این نتیجه است. به نظر Pearce و Norry (1979) تمرکز پایین تیتانیم در کلینوبیروکسن منعکس کننده درجه تهی شدگی منشأ گوشته‌ای و اکتیویته پایین Ti در مذاب مادر است.

کلینوبیروکسن+پلازیوکلاز مشخص می‌شود (Pearce *et al.*, 1984; Beccaluva *et al.*, 1983) و بر عکس در گابرۇنورىت روند تبلور از نوع SSZ (Supra Subduction Zone) شامل: الیوین→کلینوبیروکسن→ارتوبیروکسن→پلازیوکلاز (Beccaluva *et al.*, 1983; Pearce *et al.*, 1984) است. اختلاف در روند تبلور گابرۇنورىت اخلاق در شیمی و ژنز مذاب مادر را مطرح می‌سازد. در افیولیت عمان بر اساس روند تبلور در گابرۇنورىت که شامل:

- (۱) اسپینل+الیوین→پینل+الیوین→
- (۲) اسپینل+الیوین+کلینوبیروکسن→الیوین+پلازیوکلاز→کلینوبیروکسن و

اسپینل+الیوین+کلینوبیروکسن→الیوین+پلازیوکلاز→کلینوبیروکسن+پلازیوکلاز+ارتوبیروکسن است، دو ماگماتیسم مجزا معرفی شده است (Yamasaki *et al.*, 2006) که روند تبلور در گروه اول شاخص مذاب‌های MORB است (Tormey *et al.*, 1987) و در گروه دوم، شروع تبلور کلینوبیروکسن قبل از پلازیوکلاز یادآور روند SSZ است. تبلور زودهنگام کلینوبیروکسن نسبت به پلازیوکلاز در مجموعه‌های مافیک در برخی افیولیت‌ها قابل بحث است. به طور کلی، در مذاب‌های جزایر قوسی نشانه‌های زیادی از تبلور تأخیری پلازیوکلاز نسبت به کلینوبیروکسن وجود دارد (Barsdell, 1988) که دلیل آن را فشار بالای آب در مذاب (Barsdell, 1988; Sisson and Grove, 1993) و وجود دارد (Berndt, 2005) تبلور در شرایط بی‌آب در فشار بالا (Gust and Perfit, 1987) و تبلور مذاب‌های بخشی که از یک منشأ گوشته‌ای فقیرشده حاصل شده‌اند (Browning, 1982) (دانسته‌اند).

حضور ارتوبیروکسن در مجموعه‌های مافیک افیولیتی (گابرۇنورىت) نیز موضوع مورد بحث بوده

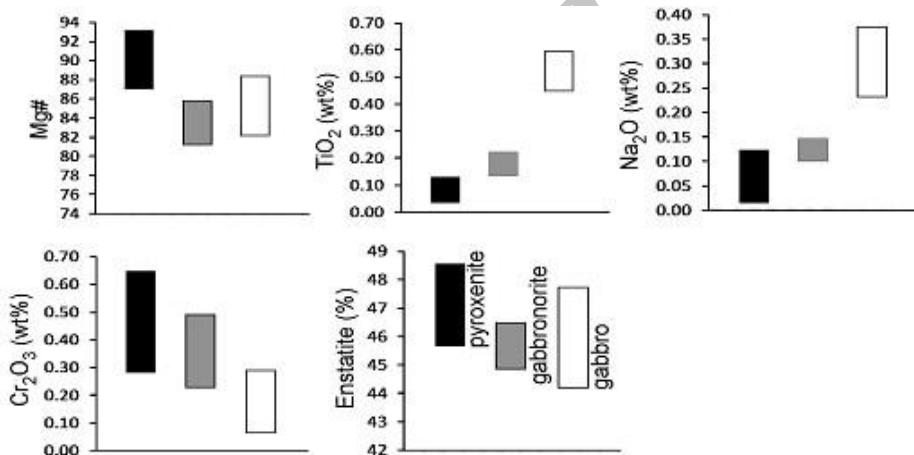
تمرکز بالای عناصر ناسازگار در مذاب اولیه این منشأ متحمل تهی شدگی کمتری شده است. از دیگر سو، پریدوتیت گوشه‌ای با تهی شدگی بیشتر منشأ مذاب مادر گابرونوریت بوده است. جایگاه ژئودینامیک یک عامل کنترل کننده میزان تهی شدگی منشأ گوشه‌ای است. در جایگاه نوع MORB ذوب پریدوتیت خشک مانع از حصول SSZ درجات بالای ذوب است اما در جایگاه نوع اضافه شدن سیالات مربوط به لیتوسفر اقیانوسی فرورانده به گوه گوشه‌ای فوقانی امکان ذوب مجدد و تهی شدگی بیشتر گوشه‌ای که قبلاً در جایگاه MORB متحمل تهی شدگی شده است را فراهم می‌کند. از سوی دیگر، میزان Al_2O_3 در مذاب‌های با ویژگی MORB نسبت به مذاب‌های SSZ بیشتر است. بنابراین، شیمی کلینوپیروکسن به وضوح به دو مذاب متفاوت با دو ترکیب شیمیایی با ویژگی MORB در گابروهای انباشتی و با ویژگی SSZ در گابرونوریت اشاره دارد.

با مقایسه داده‌های شیمیایی کلینوپیروکسن در گابرونوریت و پیروکسنتیت درمی‌یابیم که در گابرونوریت، کلینوپیروکسن Na_2O و TiO_2 بیشتر و $\text{Mg}^{\#}$ و Cr_2O_3 و نسبت سازنده انسستاتیتی کمتری دارد (شکل ۵). بنابراین، مذاب گابرونوریتی اولاً روند تحولی پیشرفت‌تری نشان می‌دهد و ثانیاً امکان تحول آن از مذاب پیروکسنتیت وجود دارد که طی آن در مذاب تفريقي یافته گابرونوریتی همچون: تیتانیم و سدیم کاهاش Cr_2O_3 و $\text{Mg}^{\#}$ همچون: سدیم و تیتانیم يافته است. مقایسه شیمی ارتوپیروکسن در گابرونوریت و پیروکسنتیت نیز نتیجه فوق را تأیید می‌کند که نشان می‌دهد ارتوپیروکسن مربوط به پیروکسنتیت دارای میزان بیشتر Cr_2O_3 و سازنده انسستاتیتی و میزان کمتر اکسید عناصر ناسازگاری همچون: سدیم و تیتانیم است (شکل ۶).

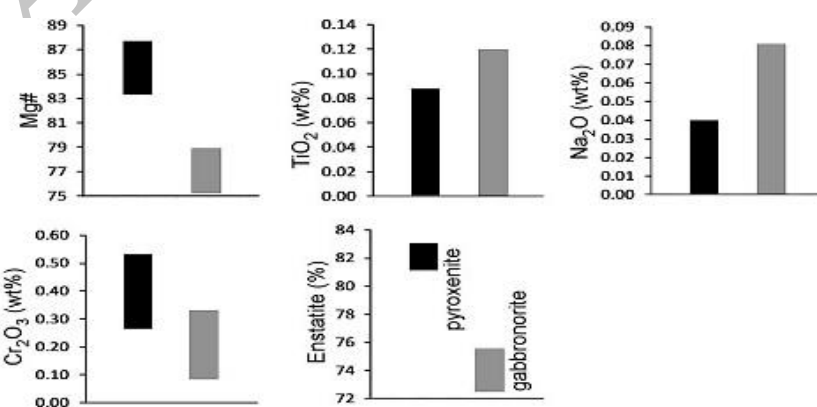
با توجه به اینکه در شکل ۴ کلینوپیروکسن مربوط به گابرونوریت و گابروهای انباشتی محدوده ترکیبی تقریباً یکسانی نشان می‌دهد ولی از جنبه تمرکز برخی اکسیدهای عناصر فرعی تفاوت معناداری بین ترکیب شیمیایی کلینوپیروکسن این سنگ‌ها وجود دارد. در گابرونوریت کلینوپیروکسن دارای میزان کمتری TiO_2 و Na_2O و میزان بیشتری Cr_2O_3 نسبت به کلینوپیروکسن گابروهای انباشتی است (شکل ۵). غنی شدگی عناصر ناسازگار و فقیرشدگی عناصر سازگار در مذاب گابرویی نسبت به مذاب گابرونوریتی می‌تواند در نتیجه تحول شیمیایی مذاب گابرویی از مذاب گابرونوریتی باشد. با این وجود از آنجا که $\text{Mg}^{\#}$ در کلینوپیروکسن گابروهای انباشتی و کلینوپیروکسن گابروهای انباشتی بیشتر از داده‌های مربوط به گابرونوریت است؛ بنابراین، تحول مذاب گابرویی از مذاب گابرونوریتی منطقی نیست. بنابراین، این سنگ‌ها باید از دو سری مذاب متفاوت با روندهای تحولی غیر مرتبط با هم تشکیل شده باشد که در یک سری فقیر از عناصر ناسازگار Ti و غنی از عناصر سازگاری همچون: Cr است و بر عکس در سری دوم عناصر ناسازگار یادشده تمرکز بالاتر داشته و عناصر سازگار تقلیل یافته‌ترند. اختلاف در ژئوشیمی کلینوپیروکسن بین گابرونوریت و گابروهای انباشتی به لحاظ Al و Na در دیاگرام Na بر روی Ti (شکل A-۷) و Al بر روی Ti (شکل B-۷) نیز مشاهده می‌شود که در دو محدوده متفاوت قرار می‌گیرد. اختلاف در ژئوشیمی مذاب‌های بازالتی اولیه منعکس کننده ناهمسانی کانی‌شناختی-ژئوشیمیایی منشأهای گوشه‌ای است. در یکسو منشأ گوشه‌ای با تهی شدگی کمتر برای مذاب‌هایی که به تبلور گابروهای انباشتی منتج شده‌اند که با توجه به

Sisson and Grove, 1993; Johannes, 1989; Koepke et al., 2005) به نظر Sisson (1993) ضریب تفریق کلسیم-سدیم بین پلازیوکلаз و مذاب به شدت حساس به PH_2O است و از ۱ تا ۵/۵ به ترتیب تحت شرایط بدون آب و اشبع از آب تغییر می‌کند. میزان بالای آنورتیت و تغییرات اندک آن در پلازیوکلاز گابرونوریتی قابل قیاس با افیولیت‌های نوع SSZ در مدیترانه شرقی مرتبط با جایگاه‌های قوسی (Hébert and Laurent, 1990) و سنگ‌های آذرین (DeBari et al., 1987) است. بنابراین، پلازیوکلاز مربوط به گابرونوریت‌ها ممکن است منشأ گرفته از مذابی باشد که در شرایط فشار بالای آب متبلور شده است.

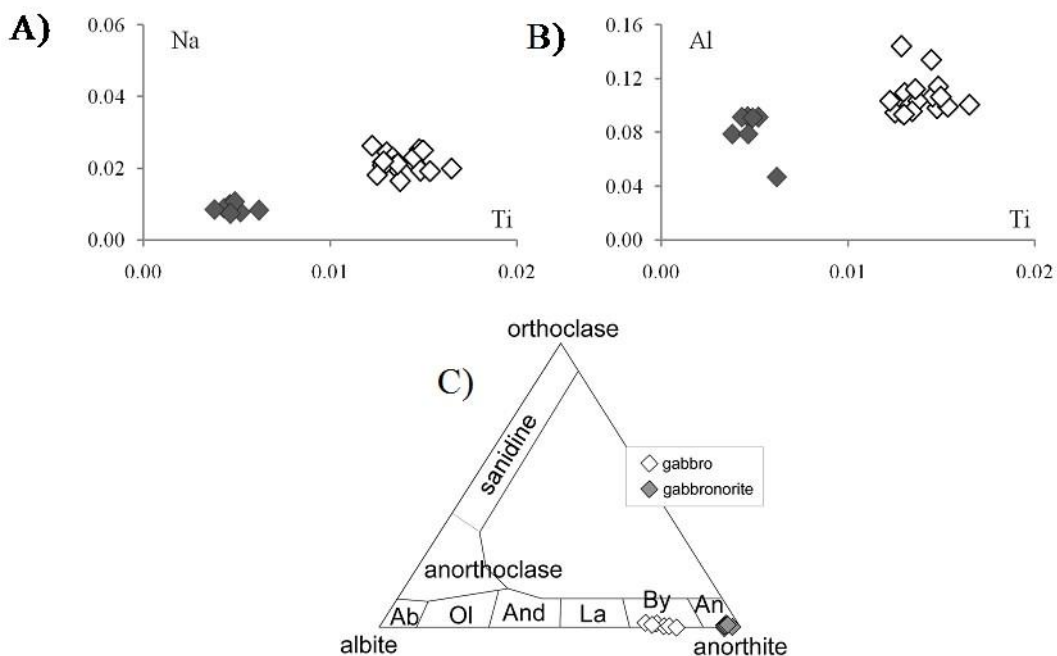
بررسی ترکیب شیمیایی پلازیوکلاز در گابرو انباستی و گابرونوریت نیز جالب توجه است. در گابرو انباستی پلازیوکلاز ترکیب بیتونیتی و در گابرونوریت ترکیب آنورتیتی دارد. ترکیب پلازیوکلاز در گابروهای انباستی در محدوده ترکیب معمول گابروهای افیولیتی است ولی درصد آنورتیت بالای پلازیوکلاز در گابرونوریت جای بحث دارد. میزان بالای آنورتیت به فشار بالای آب در مذاب یا مذاب‌های جایگاه‌های قوسی ارتباط داده شده است (Beard, 1986). در دو مذاب با ژئوشیمی یکسان حضور آب نسبت به شرایط خشک (بدون حضور آب) می‌تواند باعث تبلور پلازیوکلاز با درصد بالاتر آنورتیت شود (Arculus and Wills, 1980).



شکل ۵- مقایسه تغییرات ترکیب شیمیایی کلینوپیروکسن در اولترامافیک‌های انباستی (پیروکسنیت)، گابرونوریت و گابرو انباستی



شکل ۶- مقایسه تغییرات ترکیب شیمیایی ارتوبیروکسن در اولترامافیک انباستی (پیروکسنیت) و گابرونوریت



شکل ۷- ترکیب شیمیایی کلینوپیروکسن در گابرونوریت و گابروهای انباشتی، (A) دیاگرام Na بر روی Ti و (B) Al بر روی Ti .(C) ترکیب شیمیایی پلاژیوکلاز در گابرونوریت و گابروهای انباشتی.

داشته و سپس، تحت تأثیر حرکات نزدیک شونده بین بلوکهای لوت و افغان واقع شده است (Saccani *et al.*, 2010). حضور لیتواستراتیگرافی پوسته‌ای از نوع افیولیت SSZ نشان‌دهنده فرورانش توأم با گسترش یک قوس درون اقیانوسی در حوضه سیستان است. از نظر رئودینامیک این تحولات بدین صورت تفسیر می‌شود که توالی نوع MORB در واقع حاصل فرآیند ذوب بخشی در زیر پشتہ میان اقیانوس است که یک گوشته تهی شده و مagmaتیسم نوع MORB را نتیجه داده است. با شروع فرورانش درون اقیانوسی مشابه تحولاتی که در افیولیت‌های نوع SSZ صورت می‌گیرد گوشته یادشده متأثر از سیالات آزاد شده از دهیدراسیون لیتوسفر فرورانده مجددًا تحت تأثیر ذوب بخشی پیشرفت‌تری قرار می‌گیرد و با بر جای گذاشتن یک گوشته تهی شده‌تر magmaتیسم نوع SSZ را نتیجه می‌دهد. نتیجه این magmaتیسم توالی پوسته‌ای نوع SSZ است. در پایان کرتاسه حرکات کششی در

تفسیر رئودینامیکی

با توجه به روند تبلور و شیمی کانی‌ها می‌توان دو توالی مجزای پوسته‌ای برای مجموعه‌های پلتوتونیک کمپلکس افیولیتی نهندان تعریف کرد. در یکسو یک توالی نوع MORB که شامل: تروکتولیت انباشتی، گابروی انباشتی و گابروی ایزوتروب است و در دیگر سو یک توالی نوع SSZ که مجموعه سنگ‌های شاخص آن شامل: پیروکسانیت (الیوین و بستریت و وبستریت) و گابرونوریت انباشتی است. وجود دو جایگاه رئودینامیک برای کمپلکس افیولیتی نهندان با توجه به ژئوشیمی سنگ کل و به ویژه ترکیب پریدوتیت‌های گوشته‌ای نیز مورد بحث قرار گرفته است (Saccani *et al.*, 2010). توالی پوسته‌ای نوع MORB در واقع نشان‌دهنده بخش‌های باقیمانده‌ای از پزو دو استراتیگرافی بهم ریخته پوسته اقیانوسی حاصل شده در پشتہ میان اقیانوس است. این حوضه اقیانوسی حداقل از کرتاسه تحتانی وجود

تبلور پیروکسن نسبت به پلازیوکلаз نشانگر روند SSZ و تقدم تبلور پلازیوکلاز نسبت به پیروکسن بیانگر روند نوع MORB است. بررسی ترکیب شیمیایی کانی‌ها از جمله ارتوبیروکسن، کلینوپیروکسن و پلازیوکلاز در مجموعه سنگ‌های اولترامافیک-مافیک نیز بر دو جایگاه ژئودینامیکی متمایز دلالت دارد. به این صورت که الیوین-وبستریت، گابرونوریت شاخص مجموعه سنگ‌های جایگاه SSZ است که از نظر ژنتیک به هم وابسته است. در سمت دیگر تروکتولیت، گابروی انباشتی و ایزوتروپ در جایگاه MORB حاصل شده‌اند. این شواهد بیانگر آن است که مجموعه سنگ‌های افیولیتی در یک جایگاه ژئودینامیکی مشابه شکل نگرفته‌اند بلکه ابتدا در جایگاه پشته میان اقیانوس تشکیل شده و سپس، فرورانش درون اقیانوسی منجر به شکل‌گیری توالی پوسته‌ای بالای زمین درز فرورانش شده است.

قوس درون اقیانوسی به نظر می‌رسد که به حرکات فشارشی تغییر ماهیت داده که باعث اتمام فعالیت قوسی شده و لیتوسفر اقیانوسی نوع MORB و نوع SSZ در ملانژ-منشور به هم افزوده کمپلکس افیولیتی نهندان محبوس گشته است.

نتیجه‌گیری

مجموعه سنگ‌های افیولیتی در حدفاصل افیولیت‌های جنوب بیرجنند تا چهل کوره بخشی از برجای مانده‌های لیتوسفر اقیانوسی تیس در زمین درز سیستان و در حد فاصل بلوک‌های قاره‌ای لوت و افغان است. سنگ‌های توالی پوسته‌ای اساساً شامل: اولترامافیک‌های انباشتی (دونیت، الیوین-وبستریت و ایزوتروپ)، گابرو و گابرونوریت انباشتی و گابروی ایزوتروپ است. بررسی ویژگی‌های میکروسکوپی این سنگ‌ها نشان می‌دهد که دو روند تبلور متفاوت از هم وجود دارد. تقدم

منابع

- Anonymous (1972) Penrose field conference on ophiolites. Geotimes 17: 24-25.
- Arculus, R. J. and Wills, K. J. A. (1980) The petrology of plutonic blocks and inclusions from the Lesser Antilles Island Arc. Journal of Petrology 21: 743-799.
- Barsdell, M. (1988) Petrology and petrogenesis of clinopyroxene-rich tholeiitic lavas. Merelava Volcano, Vanuata. Journal of Petrology 29: 927-964.
- Beard, J. S. (1986) Characteristic mineralogy of arc-related cumulate gabbros: implications for the tectonic setting of gabbroic plutons and for andesite genesis. Geology 14: 848-851.
- Beccaluva, L., Di Girolamo, P., Macchiotta, G. and Morra, V. (1983) Magma affinities and fractionation trends in ophiolites. Ophioliti 8: 307-324.
- Bédard, J. H. and Hébert, R. (1996) The lower crust of the Bay of Islands ophiolite, Canada: petrology, mineralogy, and the importance of syntaxis in magmatic differentiation in ophiolites and at ocean ridges. Journal of Geophysical Researches 101: 25105-25124.
- Berndt, J., Koepke, J. and Holtz, F. (2005) An experimental investigation of the influence of water and oxygen fugacity on differentiation of MORB at 200 MPa. Journal of Petrology 46: 135-167.
- Berndt, J., Koepke, J. and Holtz, F. (2005) An experimental investigation of the influence of water and oxygen fugacity on differentiation of MORB at 200 MPa. Journal of Petrology 46: 135-167.
- Boudier, F., Godard, M. and Armbruster, C. (2000) Significance of gabbronorite occurrence in

- the crustal section of the Semail ophiolite. *Marine Geophysical Research* 21: 307-326.
- Browning, P. (1982) The petrology, geochemistry and structure of the plutonic rocks in the Oman ophiolite. Unpublished PhD Thesis, University of Open, Milton Keynes. UK.
- Clénet, H., Ceuleneer, G., Pinet, P., Abily, B., Daydou, Y., Harris, E., Amri, I. and Dantas, C. (2010) Thick sections of layered ultramafic cumulates in the Oman ophiolite revealed by an airborne hyperspectral survey: Petrogenesis and relationship to mantle diapirism. *Lithos* 114: 265-281.
- DeBari, S. M., Kay, S. M. and Kay, R. W. (1987) Ultramafic xenoliths from Adagdak volcano, Adak, Aleutian islands, Alaska: deformed igneous cumulates from the Moho of an island arc. *Journal of Geology* 95: 329-341.
- Delaloye, M. and Desmons, J. (1980) Ophiolites and mélange terranes in Iran: A geochronological study and its paleotectonic implications. *Tectonophysics* 68: 83-111.
- Delavari (2010) Petrology and geochemistry of Nehbandan ophiolitic complex. PhD thesis, University of Tarbiat Moallem, Tehran, Iran (in Persian).
- Dilek, Y., Moores, E. M., Elthon, D. and Nicolas, A. (Eds.) (2000) Ophiolites and oceanic crust: new insights from field studies and the Ocean Drilling Program. Geological Society, America.
- Elthon, D., Casey, J. F. and Komor, S. (1984) Cryptic mineral chemistry variations in a detailed traverse through the cumulate ultramafic rocks of the North Arm mountain massif of the Bay of island ophiolite, Newfoundland. In: ophiolites and oceanic lithosphere (Eds. Gass, I. G., Lippard, S. J. and Shelton, A.W.) 83-97. Blackwell, London.
- Elthon, D. (1987) Petrology of the gabbroic rocks from the mid-Cayman rise spreading center. *Journal of Geophysical Research* 92: 658-682.
- Grove, T. L., Baker, M. B. and Kinzler, R. J. (1984) Coupled CaAl-NaSi diffusion in plagioclase feldspar: experiments and applications to cooling rate speedometry. *Geochimica et Cosmochimica Acta* 48: 2113-2121.
- Gust, D. A. and Perfit, M. R. (1987) Phase relations of a high-Mg basalt from Aleutian island arc: implications for primary island arc basalts and high-Al basalts. *Contribution to Mineralogy and Petrology* 97: 7-18.
- Hébert, R. and Laurent, R. (1990) Mineral chemistry of the plutonic section of the Troodos ophiolite: new constraints for genesis of arc-related ophiolites. In: ophiolites-oceanic crustal Analogues. proceedings of Troodos ophiolite symposium (Eds. Malpas, J., Moores, E., Panayiotou, A. and Xenophontos, C.) 149-163. Cyprus Geological Survey Dept., Cyprus.
- Johannes, W. (1989) Melting of plagioclase-quartz assemblages at 2 kbar water pressure. *Contributions to Mineralogy and Petrology* 103: 270-276.
- Juteau, T., Beurrier, M., Dahl, R. and Nehlig, P. (1988) Segmentation at a fossil spreading axis: the plutonic sequence of the Wadi Haymiliyah area (Haylān block, Sumail Nappe, Oman). *Tectonophysics* 51: 167-197.
- Kelemen, P. B., Kikawa, E. and Miller, D. J. (2004) Proceedings of the Ocean Drilling Program, initial report, vol. 209, Ocean Drilling Program, College Station, Texas.
- Koepke, J., Feig, S. and Snow, J. (2005) Late stage magmatic evolution of oceanic gabbros as a result of hydrous partial melting: Evidence from the Ocean Drilling Program (ODP) Leg 153 drilling at the mid-Atlantic Ridge. *Geochemistry Geophysics Geosystems* 6(2): 1-27.
- Lachize, M., Lorand, J. P. and Juteau, T. (1996) Calc-alkaline differentiation trend in the

- plutonic sequence of the Wadi Haymiliyah section, Haylays massif, Semail ophiolite, Oman. *Lithos* 38: 207-232.
- Morimoto, N. (1989) Nomenclature of pyroxenes. *Canadian Mineralogist*. 27: 143-156.
- Pearce, J. A. and Norry, M. J. (1979) Petrogenetic implications of Ti, Zr, Y and Nb variations in volcanic rocks. *Contribution to Mineralogy and Petrology* 69: 33-47.
- Pearce, J. A., Lippard, S. J. and Roberts, S. (1984) Characteristics and tectonic significance of supra-subduction zone ophiolites. *Geological Society, London, Special Publications*. 16: 77-94.
- Saccani, E., Delavari, M., Beccaluva, L. and Amini, S. (2010) Petrological and geochemical constraints on the origin of the Nehbandan ophiolitic complex (eastern Iran): Implication for the evolution of the Sistan Ocean. *Lithos* 117: 209-228.
- Sisson, T. W. and Grove, T. L. (1993) Experimental investigations of the role of H₂O in calc-alkaline differentiation and subduction zone magmatism. *Contribution to Mineralogy and Petrology* 113: 143-166.
- Tirrul, R., Bell, I. R., Griffis, R. J. and Camp, V. E. (1983) The Sistan suture zone of eastern Iran. *Geological Society of America Bulletin*, 94: 134-150.
- Tirrul, R., Johns, J. W., Willoughby, N. O., Camp, V. E., Griffis, R. J., Bell, I. R. and Meixner, H. M. (1989) Geological map of Nehbandan 1:100000, Sheet 8053. Geological Survey of Iran, Tehran.
- Tormey, D. R., Grove, T. L. and Bryan, W. B. (1987) Experimental petrology of normal MORB near the Kane Fracture Zone: 22°–25°N mid- Atlantic ridge. *Contribution to Mineralogy and Petrology* 96: 121-139.
- Yamasaki, T., Maeda, J. and Mizuta, T. (2006) Geochemical evidence in clinopyroxenes from gabbroic sequence for two distinct magmatism in the Oman ophiolite. *Earth and Planetary Science Letters* 251: 52-65.
- Zarrinkoub, M. H., Pang, K. N., Chung, S. L., Khatib, M., Mohammadi, S. S., Chiu, H. Y. and Lee, H. Y. (2012) Zircon U-Pb age and geochemical constraints on the origin of the Birjand ophiolite, Sistan suture zone, eastern Iran. *Lithos* 154: 392-405.

Different geodynamic settings for Sistan suture zone ophiolitic units: discussion of textural evidences and mineral chemistry of crustal sequence ultramafic-mafic associations

Morteza Delavari *

Department of Geochemistry, Faculty of Earth Sciences, Kharazmi University, Tehran, Iran

Abstract

Sistan suture zone ophiolitic rocks are remnants of Tethyan oceanic lithosphere between Lut and Afghan continental blocks. This oceanic basin has been existed at least during the Cretaceous. Mineral chemistry from crustal sequence ultramafic-mafic associations and petrographical evidences from parts of these ophiolitic complexes (the ophiolitic rocks located between the south of Birjand and Tchehel Kureh ophiolites) suggest distinct geodynamic setting for the formation of oceanic lithosphere. Plutonic rocks from crustal sequence mainly include ultramafic cumulates (dunite and pyroxenite), cumulate gabbro, gabbronorite and isotropic gabbro. The crystallization trend in these rocks is variable including earlier crystallization of pyroxene relative to plagioclase and vice versa which implies SSZ (supra-subduction zone) and MORB (Mid-Oceanic Ridge Basalt) - type trends, respectively. The composition of plagioclase in cumulate gabbros and gabbronorite is bytownite and anorthite, respectively. Moreover, the contents of compatible and incompatible elements of clinopyroxene and orthopyroxene in ultramafic cumulates, cumulate gabbros and gabbronorite represent significant differences. The chemical composition of these minerals and crystallization trends indicate that pyroxenites-gabbronorite and troctolite-cumulate gabbros-isotropic gabbros have been formed from two different magma series with SSZ and MORB affinities, respectively. In the study area, it seems that the MORB-type magmatism resulted from partial melting beneath mid ocean ridge produced a depleted mantle. Subsequently, consequence of intra-oceanic subduction the MORB mantle has been suffered higher depletion due to fluid-induced melting in supra subduction zone setting and produced SSZ-type magmatism.

Key words: Ultramafic-mafic rocks, Geodynamic setting, Ophiolite, Sistan suture zone, East of Iran